

ПОВЫШЕНИЕ ЭФФЕКТИВНОСТИ ГТУ ПУТЕМ ПРИМЕНЕНИЯ
ПАРОГАЗОВОГО ЦИКЛА STIG И РЕАЛЬНОГО УЧЕТА
ЮТЕРЬ В ПРОТОЧНОЙ ЧАСТИ ОСЕВОГО КОМПРЕССОРА

Коваль В.А., канд. техн. наук; Ковалев В.И.; Павленко Г.В., канд. техн. наук; Редин И.И.; Васильев А.Э.; Филяев В.А.

Одним из способов повышения мощности газотурбинной энергетической установки и ее КПД является впрыск пара в проточную часть двигателя (как правило за компрессором и в камеру сгорания) - *Steam Injected Gas (STIG)*. При этом пар вырабатывается в теплоутилизационном контуре отработанных продуктов сгорания приводного ГТД. Расчетная схема энергетической установки показана на рис. I.

Подача пара в проточную часть приводит к увеличению теплоемкости продуктов сгорания и газовой постоянной

$$C_{P_{CM}} = \frac{C_{Pr}G_r + C_{Pn}G_n}{G_r + G_n}; R_{CM} = \frac{R_rG_r + R_nG_n}{G_r + G_n}, \quad (I)$$

что в дополнении с увеличенным расходом рабочего тела через свободную турбину и степени понижения полного давления

$$\mathcal{N} = C_{P_{CM}} G_{CM} \bar{G}_{Bx} \bar{G}_{Kc} \bar{G}_{By} \bar{\pi}_k^* \left(1 - \frac{C_p T_e^* (\pi_k^* - 1)^{\frac{k-1}{k}}}{C_{P_{CM}} T_{CM}^* (1+d) \bar{\gamma}_k \bar{\gamma}_T^* \bar{G}_m} \right)^{\frac{K_{CM}}{K_{CM}-1}} \quad (2)$$

сопровождается ростом полезной мощности и КПД парогазовой энергетической установки $\eta_e = \mathcal{N}_{cm}/G_T H_u \eta_r$. Входящая в эту формулу величина $d = G_n/G_r$ характеризует относительный расход пара в камере сгорания.

Структурная схема алгоритма термогазодинамического расчета ГТУ-*STIG* показана на рис. 2. Процесс вычисления заканчивается при соблюдении условия по мощности ГТУ $(\mathcal{N}_i - \mathcal{N}_{i-1})/\mathcal{N}_i \leq \varepsilon$.

Выполнены расчеты одновальной ГТУ со свободной турбиной с параметрами рабочего процесса $T_r^* = 1500$ К, $\pi_k^* = 20$ и $G_B = 10$ кг/с для исходного варианта и с впрыском пара в камеру сгорания и различным расходом пара. В исходном варианте на расчетном режиме

$\mathcal{N} = 3425$ кВт и $\eta_e = 37,9\%$. Подача пара приводит к росту мощности и КПД ГТУ соответственно до $\mathcal{N} = 4085$ кВт и $\eta_e = 41,8\%$ при $d = 0,157$ и $\mathcal{N} = 5005$ кВт и $\eta_e = 47,0\%$ при $d = 0,173$. Эти результаты достаточно хорошо согласуются с характеристиками ПГУ-*STIG LM 1600, LM 2500* и *LM 5000* /1/.

Таким образом применение в ГТУ парогазового цикла STIG приводит к повышению эффективности энергоустановки.

Другой путь увеличения КПД приводного двигателя - совершенствование внутренней аэродинамики проточной части осевого компрессора. Учет реальных свойств течения в лопаточных венцах позволяет качественно проектировать компрессор и надежно оценивать его характеристики в широком диапазоне режимов.

С этой целью были проведены обобщения интегральных параметров трехмерного аэродинамического следа полученных в результате опытных исследований структуры течения в модельных ступенях С-12 и С-14 в относительной системе координат /2/. Для получения аппроксимационных зависимостей $\bar{\delta}^{**} = f_1(D_w, Re)$ и

$H_{12} = f_2(D_w, Re)$ использовался метод наименьших квадратов. В результате расчетов были получены зависимости для интегральных параметров ближнего следа

$$\bar{\delta}^{**} = 0,1103 - 0,1206 D_w - 2,169 \cdot 10^{-7} Re + 0,0452 D_w^2 + 4,07 \cdot 10^{-13} Re^2 + 3,7216 \cdot 10^{-8} D_w Re; \quad (3)$$

$$H_{12} = 3,172 - 3,468 D_w + 5,15 \cdot 10^{-7} Re + 1,558 D_w^2 + 2,43 \cdot 10^{-12} Re^2 - 1,06 \cdot 10^{-6} D_w Re. \quad (4)$$

Эти зависимости позволяют более точно определять коэффициент профильных потерь в рабочих колесах осевых компрессоров, а значит и более надежно рассчитывать их КПД.

Предложен и новый подход к осреднению концевых потерь, в частности в периферийном торцевом пограничном слое. Ранее /3/ было установлено, что зная параметры потока перед рабочим колесом у периферии и объемный расход сброшенной в поперечном направлении жидкости, можем определить толщину пограничного слоя, а значит и концевые потери. При этом было получено следующее выражение для толщины пограничного слоя

$$\delta_k = \frac{1}{\bar{r}_{2k}} \left(\frac{w_1}{w_2} \Delta r + \frac{2z_b \int \delta(\bar{x}) U(\bar{x}) \Delta \beta(\bar{x}) d\bar{x}}{t_k w_2} \right)_{(n+1)}, \quad (5)$$

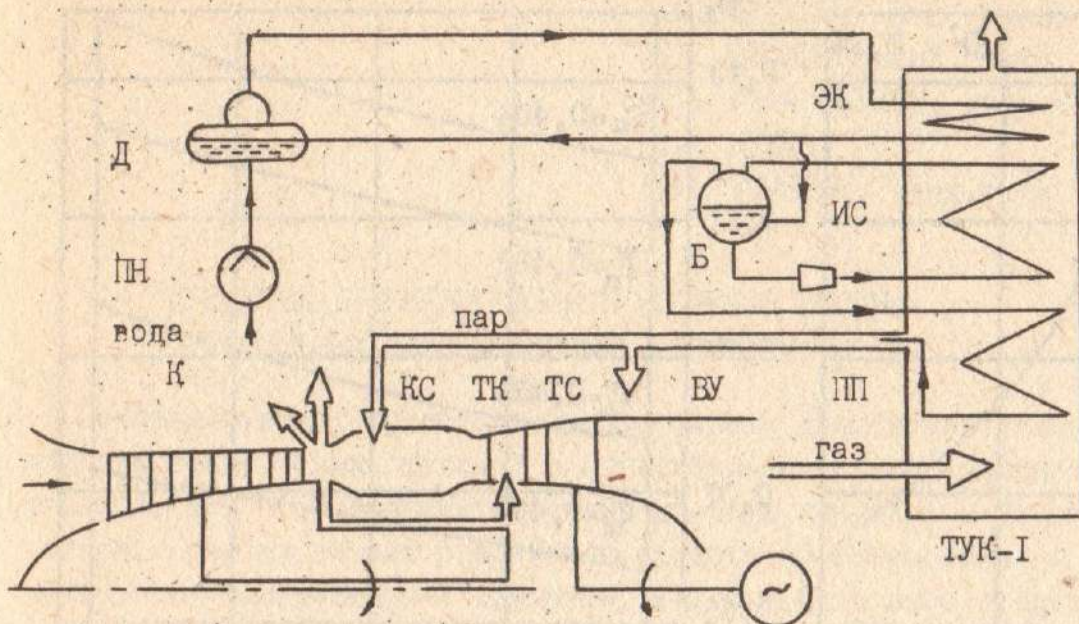
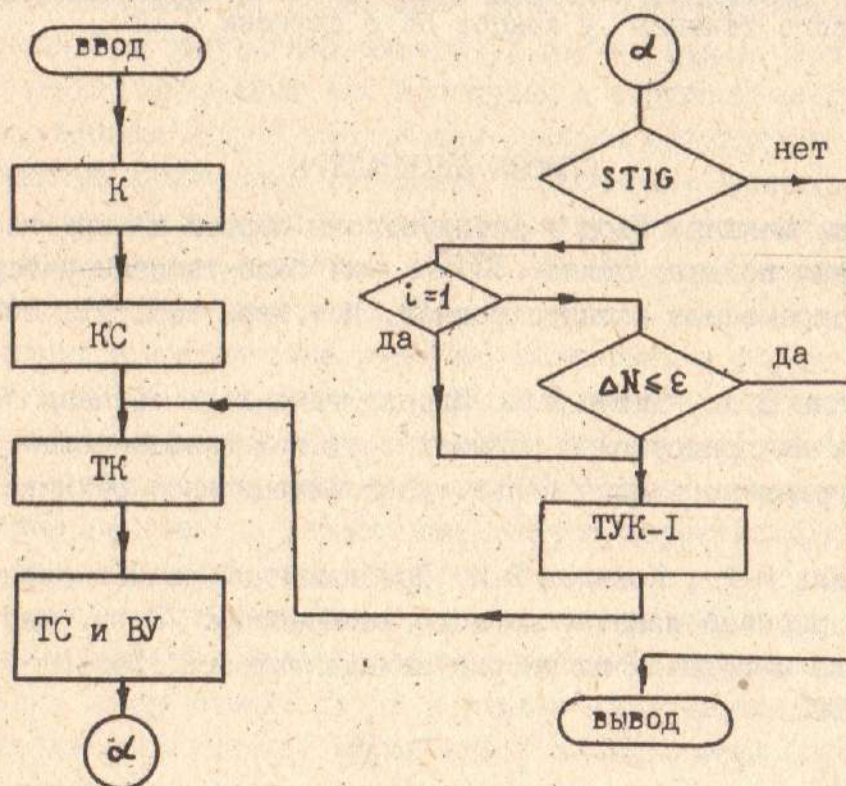
где W_1 и W_2 - относительные скорости на входе и выходе из РК; Δr - радиальный зазор; Z - число лопаток; δ - хорда; δ^* - толщина вытеснения профильного пограничного слоя, U - скорость потока на внешней границе; α - угол поворота потока; t_k - шаг решетки у периферии; X - безразмерная координата вдоль хорды и $\Pi = 1/7$ - показатель степени профиля скорости.

В качестве объекта расчетного исследования была выбрана модельная ступень С-12. На рис. 3а и 3б изображены результаты влияния режима работы C_a и радиального зазора Δr на величину сбрасываемого объемного расхода жидкости в радиальном направлении $Q_{обр}$ и $\delta_k = \delta_k / \delta$. Видно, что по мере приближения режима работы ступени к предсрывному резко возрастает количество жидкости перемещаемой под действием центробежных сил в радиальном направлении вдоль лопатки и формирующей соответственным образом торцевой пограничный слой. Здесь величина $Q_{обр}$ может быть больше 1%. Заметно влияние Δr и C_a на величину δ_k .

Таким образом, определив интегральные параметры профильного пограничного слоя с помощью соотношений /3/ и /4/ можно расчитать и параметры торцевого течения и коэффициенты профильных торцевых потерь в осевом компрессоре. При расчете концевых потерь целесообразно воспользоваться формулой М.Е.Дейча и Г.С.Самойловича

$$\xi_{конц} = \frac{2H^* \bar{\delta}_2^{**}}{\bar{h} - 2H_{12}\bar{\delta}_2^{**} - \frac{\bar{h}}{\bar{t}} H_{12}\bar{\delta}^{**}} \left[\left(1 + B \left(1 + \frac{C_{12} \cdot ctg \beta_1}{C_{20} \cdot ctg \beta_2} \right)^2 \bar{t}^2 \cdot \frac{\sin^2(2\beta_2)}{4} \right) \right],$$

где для торцевого пограничного пограничного слоя $H^* = \delta^{***}/\delta^*$, $\bar{t} = t/B$, $\bar{h} = h/B$. Входящее в это выражение значение формпараметра H^* принимается в соответствии с показателем степени профиля скорости, равного $1/7$, а остальные интегральные параметры профильного пограничного слоя по приведенным выше обобщающим выражениям (3) и (4).

Рис. I Расчетная схема ГТУ-*STIG* с ТУК-*I*Рис.2 Блок-схема термогазодинамического расчета ГТУ-*STIG*

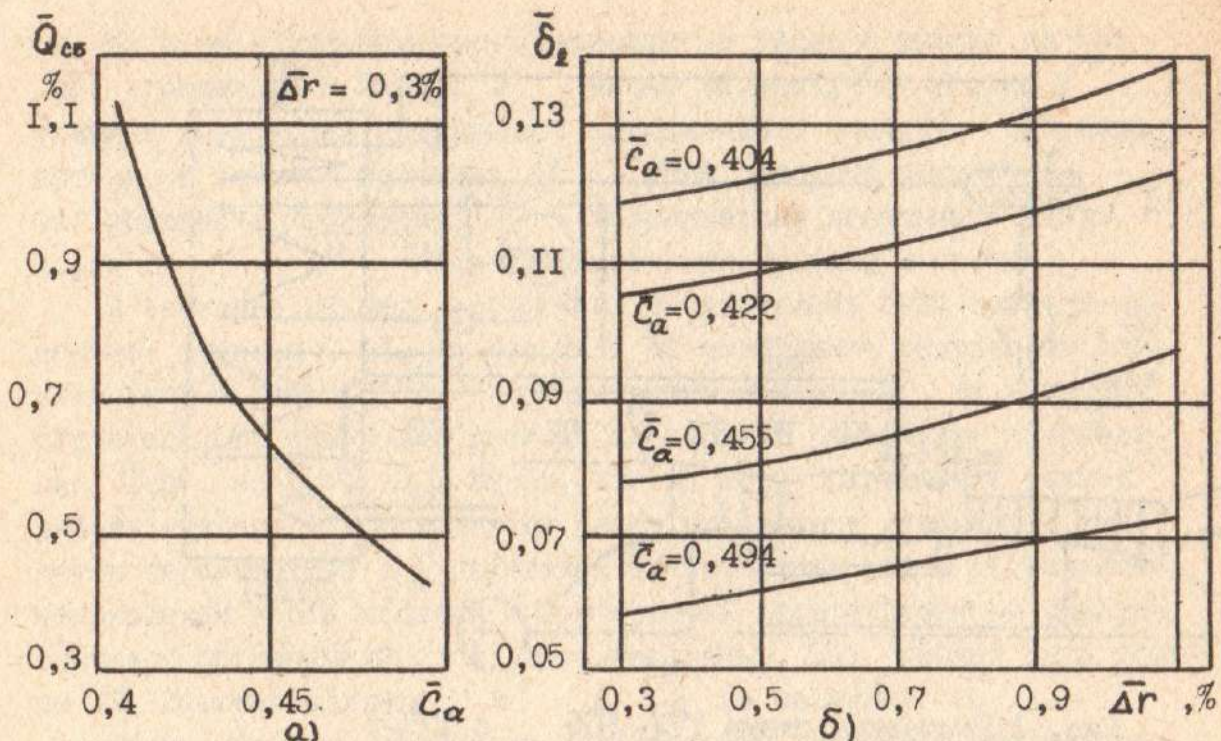


Рис. 3 Результаты исследования влияния радиального сброса профильного пограничного слоя на формирование торцевого течения у концов РК в ступени С-12

СПИСОК ЛИТЕРАТУРЫ

1. Колп, Меллер. Ввод в эксплуатацию первой в мире газотурбинной установки полного цикла *STIG* на базе газогенератора *LM 5000*. Современное машиностроение, М.: Мир, вып. II, 1989. С. I-I4.
2. Коваль В.А., Ершов В.Н. Модель течения в ступени осевого компрессора на предсрывных режимах с учетом особенностей формирования пограничного слоя //Изв.вузов Авиационная техника № 1, 1987.
3. Коваль В.А., Ковалев В.И. Приближенный расчет поперечного течения на рабочей лопатке осевого компрессора /В кн. научно-методические материалы по теории авиадвигателей. Харьков, ХВАИУ, вып. II, 1992.